



Физический факультет  
Кафедра вычислительной физики

# Выбор гиперпараметров нейронной сети для решения задач математической физики

Выполнил: Поляков Даниил Николаевич  
Научный руководитель: Степанова Маргарита Михайловна

Санкт-Петербург, 2023

Самыми распространёнными классами методов численного решения дифференциальных уравнений являются метод конечных разностей (МКР) и метод конечных элементов (МКЭ).

Нейронные сети набирают обороты во многих областях науки и техники. В частности, поскольку нейронная сеть является универсальным аппроксиматором, с её помощью можно аппроксимировать функции и решать дифференциальные уравнения (**PINN**).

Для получения наилучшего результата перед обучением модели необходимо правильно подобрать конфигурацию её гиперпараметров. Процесс подбора конфигурации модели часто оказывается очень трудоёмким. В связи с этим в настоящее время ведутся исследования и разработки в области автоматической оптимизации гиперпараметров (*Hyper-Parameter Optimization*, **HPO**).

В настоящей работе исследуются процессы ручной и автоматической оптимизации гиперпараметров нейронной сети для решения уравнения Гельмгольца в пространствах больших размерностей (до 8). Построение и тренировка модели проводится на базе фреймворка **PyTorch**, а автоматическая оптимизация гиперпараметров проводится с использованием фреймворка **Ray Tune**.

# Цели работы



Цели, поставленные в текущей работе:

1. изучить влияние гиперпараметров на сходимость нейронной сети к решению;
2. сравнить методы автоматического подбора гиперпараметров;
3. исследовать возможность решения уравнения Гельмгольца в пространстве большой размерности.

# Искусственная нейронная сеть

В настоящей работе ведётся работа с искусственными нейронными сетями с прямой связью (*Feed-forward Neural Network*, FNN). Нейронные сети представляют собой композицию линейных и нелинейных преобразований. Элементарным элементом нейронной сети является нейрон. В случае полносвязной нейронной сети значение, возвращаемое нейроном, выражается следующим образом:

$$y_j = \sigma_j \left( b_j + \sum_i^n w_{ji} x_i \right)$$

$x_i$  — значения на выходе из нейронов предыдущего слоя,

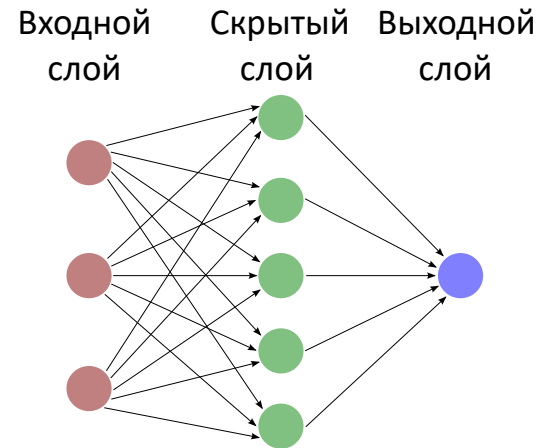
$w_{ji}$  — весовые коэффициенты,  $b_j$  — сдвиги,  $\sigma_j$  — функция активации.

Многослойная (глубокая) нейронная сеть выражается суперпозицией подобных преобразований:

$$f(\mathbf{x}) = \varphi_L(\dots\varphi_2(\varphi_1(\mathbf{x})))$$

Градиентный спуск:

$$\theta_i = \theta_{i-1} - lr \cdot \nabla_{\theta} \text{loss}(\theta_{i-1})$$



**Рисунок 1.**  
Однослойная нейронная сеть

# Решение уравнений с помощью нейронных сетей



Искусственные нейронные сети можно применить для решения дифференциальных уравнений в частных производных вида:

$$f\left(\mathbf{x}; u; \frac{\partial u}{\partial x_1}, \dots, \frac{\partial u}{\partial x_n}; \frac{\partial^2 u}{\partial x_1 \partial x_1}, \dots, \frac{\partial^2 u}{\partial x_n \partial x_n}\right) = 0, \quad \mathbf{x} \in D, \quad D \subset \mathbb{R}^n$$

с граничными условиями:

$$b(\mathbf{x}, u)|_{\Gamma} = 0$$

В качестве меры ошибки и целевой функции можно использовать взвешенную сумму  $L^2$  норм отклонений (невязок) по уравнению и по границе:

$$\text{loss} = \omega_f \text{loss}_f + \omega_b \text{loss}_b$$

$$\text{loss}_f = \frac{1}{|N_f|} \sum_{\mathbf{x} \in N_f} \left\| f\left(\mathbf{x}; \hat{u}; \frac{\partial \hat{u}}{\partial x_1}, \dots, \frac{\partial \hat{u}}{\partial x_n}; \frac{\partial^2 \hat{u}}{\partial x_1 \partial x_1}, \dots, \frac{\partial^2 \hat{u}}{\partial x_n \partial x_n}\right) \right\|^2$$

$$\text{loss}_b = \frac{1}{|N_b|} \sum_{\mathbf{x} \in N_b} \|b(\mathbf{x}, \hat{u})\|^2$$

где  $\omega_f, \omega_b$  — веса;  $N_f = \{x_1, \dots, x_{|N_f|}\}$ ,  $N_b = \{x_1, \dots, x_{|N_b|}\}$  — множества точек коллокации (тренировочная выборка) по уравнению и по границе соответственно;  $|N_f|, |N_b|$  — количества точек;  $\hat{u}$  — решение нейронной сети.

# Описание задачи

Рассматриваем уравнение Гельмгольца размерности  $n$  на единичном кубе:

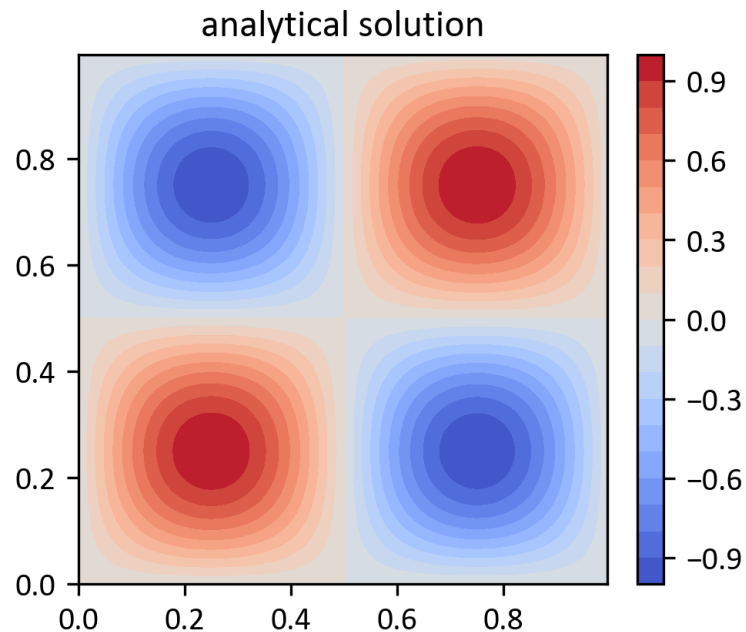
$$-\Delta u(\mathbf{x}) - u(\mathbf{x}) = (4\pi^2 n - 1) \cdot \prod_i^n \sin(2\pi x_i)$$

$$u|_{\Gamma} = 0$$

$$D = \{\vec{x}: 0 \leq x_i \leq 1, i = 1, \dots, n\}$$

Правая часть уравнения выбрана таким образом, чтобы решение рассчитывалось аналитически:

$$u(\mathbf{x}) = \prod_i^n \sin(2\pi x_i)$$



**График 1.** Аналитическое решение в двумерном пространстве

# Функционал ошибки



В решаемой задаче возможно жёсткое форсирование граничного условия (см. след. слайд), поэтому функция ошибки будет состоять только из невязки по уравнению:

$$\text{loss} = \text{MSE}_f = \left\langle \left( \Delta u(\mathbf{x}) + u(\mathbf{x}) + (4\pi^2 n - 1) \cdot \prod_i^n \sin(2\pi x_i) \right)^2 \right\rangle$$

В силу того, что нейронные сети представляют собой комбинацию аналитических преобразований, для них можно рассчитать производную от выходного значения по входным параметрам. По этому принципу в данном случае производится расчёт лапласиана. PyTorch предоставляет средства для автоматического дифференцирования функций и, в частности, нейросетей.

# Структура сети

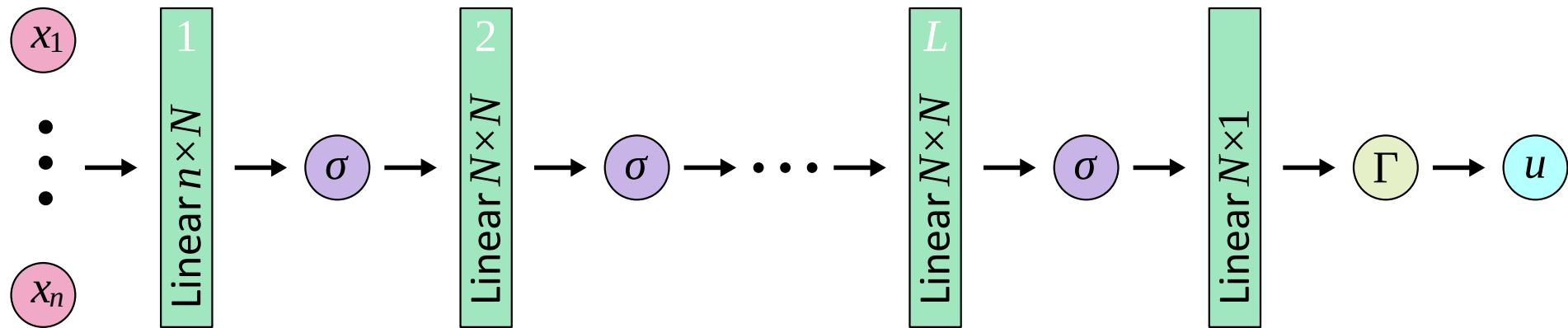


Рисунок 5. Схема используемой нейронной сети

Количество слоёв  $L$ , ширина слоя  $N$ , и функция активации  $\sigma$  подлежат подбору. На выходе сети производится форсирование граничного условия. Оно реализуется домножением выходного значения на гладкую функцию, удовлетворяющую граничным условиям:

$$\tilde{u} = u \cdot \prod_i^n (x_i - 0)(1 - x_i)$$



# Генерация точек



Обучающую выборку генерируем двумя способами:

- классическим генератором равномерно распределённых случайных чисел;
- квазислучайным генератором из последовательности Соболя.

При квазислучайной генерации точек гарантируется равномерное заполнение области определения уравнения и каждого батча.

Тестовые точки будем всегда выбирать из классического равномерного распределения. Их количество всегда выбираем равным количеству точек в обучающей выборке.

# Оптимизация гиперпараметров



Гиперпараметры, связанные с процессом обучения:

- $|N_f|$  — количество точек в обучающей выборке;
- RNG — способ генерации точек в обучающей выборке;
- $|N_{\text{batch}}|$  — размер батча;
- $lr$  — начальная скорость обучения;
- $lr$  scheduler — планировщик скорости обучения:
  - None;
  - ExponentialLR-0.95;
  - ReduceLROnPlateau-0.1-10;
  - ReduceLROnPlateau-0.5-2.

Гиперпараметры, связанные с архитектурой сети:

- $N$  — ширина скрытого слоя (количество нейронов в скрытом слое);
- $L$  — количество скрытых слоёв;
- $\sigma$  — функция активации:
  - $\text{ELU}(x) = \begin{cases} x, & x > 0 \\ e^x - 1, & x \leq 0 \end{cases}$
  - $\text{sigmoid}(x) = \frac{1}{1 + e^{-x}}$
  - $\tanh(x) = \frac{e^x - e^{-x}}{e^x + e^{-x}}$
  - $\sin(x)$
  - $\frac{\tan^{-1}(x)}{\pi/2}$

# Вычислительные ресурсы



Обучение нейронных сетей проводилось на узлах РЦ ВЦ СПбГУ:

- ручная оптимизация — **NVIDIA Tesla P100**, 16 GB;
- автоматическая оптимизация и финальное обучение — **NVIDIA RTX A6000**, 48 GB.

RTX A6000 превосходит Tesla P100 по скорости обучения моделей примерно в 1.8 раз.

# Ручная оптимизация гиперпараметров — Методика



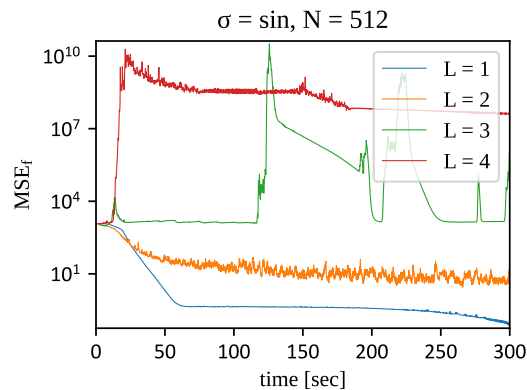
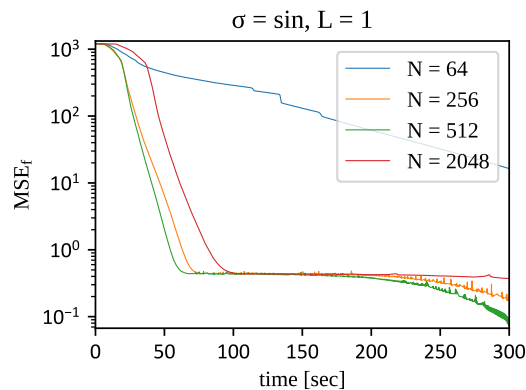
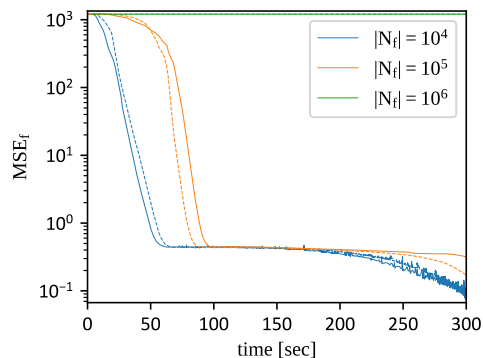
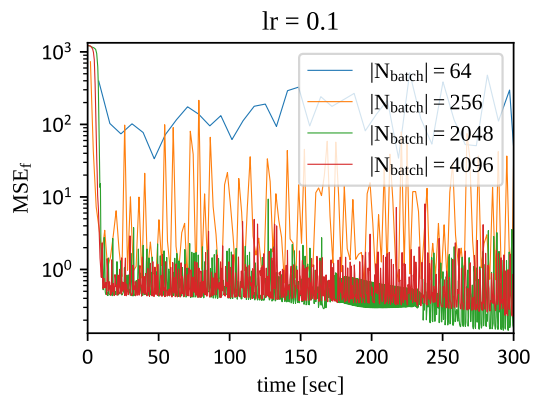
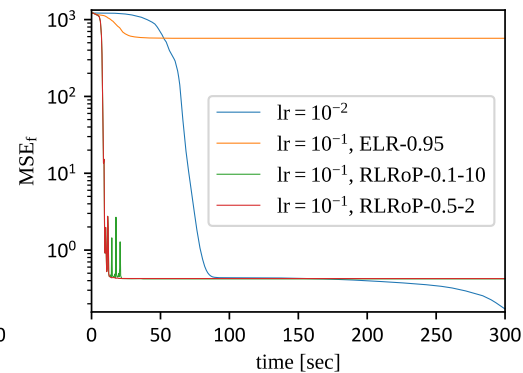
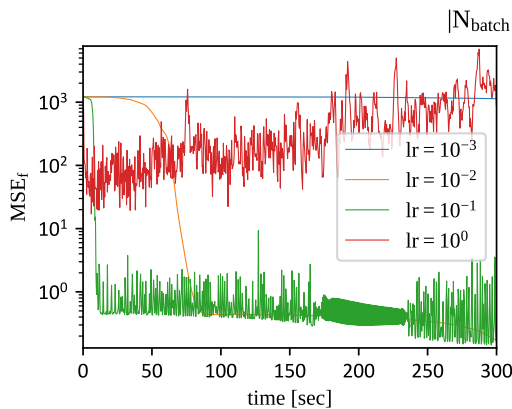
Сначала проводим исследование влияния гиперпараметров на сходимость сети в случаях 2-мерной и 5-мерной задач.

- Задаём сетку конфигураций и проводим случайный поиск по 100 точкам с одинаковым временем обучения на каждую точку.
- Стартуя с полученной оптимальной конфигурации, разбиваем гиперпараметры на группы и варьируем их по сетке. Выбираем оптимальные значения и переходим к другим гиперпараметрам. Группы выбраны следующим образом:
  - скорость обучения и размер батча;
  - количество точек и способ генерации точек;
  - ширина скрытого слоя, количество скрытых слоёв и функция активации.

# Ручная оптимизация гиперпараметров — Результаты

**Таблица 16. Лучшая конфигурация модели для решения 5-мерной задачи, полученная вручную**

$t$ , сек	$MSE_f$	$RMSE_u$	$N$	$L$	$\sigma$	$ N_f $	RNG	$ N_{batch} $	$lr$	$lr$ scheduler
300	8.92E-02	1.52E-03	512	1	sin	$10^4$	квазисл.	2048	$10^{-2}$	None



# Ручная оптимизация гиперпараметров — Выводы



- Размер батча имеет относительно низкое влияние на сходимость сети по сравнению с другими параметрами. Однако не следует выбирать размер батча слишком малым.
- При больших значениях  $lr$  целевая функция быстро понижается на первых итерациях, а затем приобретает осциллирующий вид. При малых  $lr$  сходимость медленная, но более плавная, а абсолютная точность сети, как правило, выше.
- Использование планировщика  $lr$  в большинстве случаев предпочтительнее, чем постоянное значение  $lr$ , и даёт выигрыш по скорости и абсолютной точности. Однако, неправильно подобранные параметры планировщика могут ухудшить результат.
- Увеличение числа точек коллокации не всегда улучшает скорость сходимости, а иногда даже значительно ухудшает её.
- Квазислучайный метод генерации точек превосходит случайный метод, но выигрыш, как правило, заметен при небольшом количестве точек.
- Для рассмотренной задачи лучшую аппроксимацию дают неглубокие сети с 1–2 скрытыми слоями.
- Из рассмотренных функций активации  $\sin$  превосходит  $\tanh$  и сильно превосходит все остальные функции.

# Автоматическая оптимизация гиперпараметров



Автоматическая оптимизация гиперпараметров (**НРО**) состоит из двух основных компонентов:

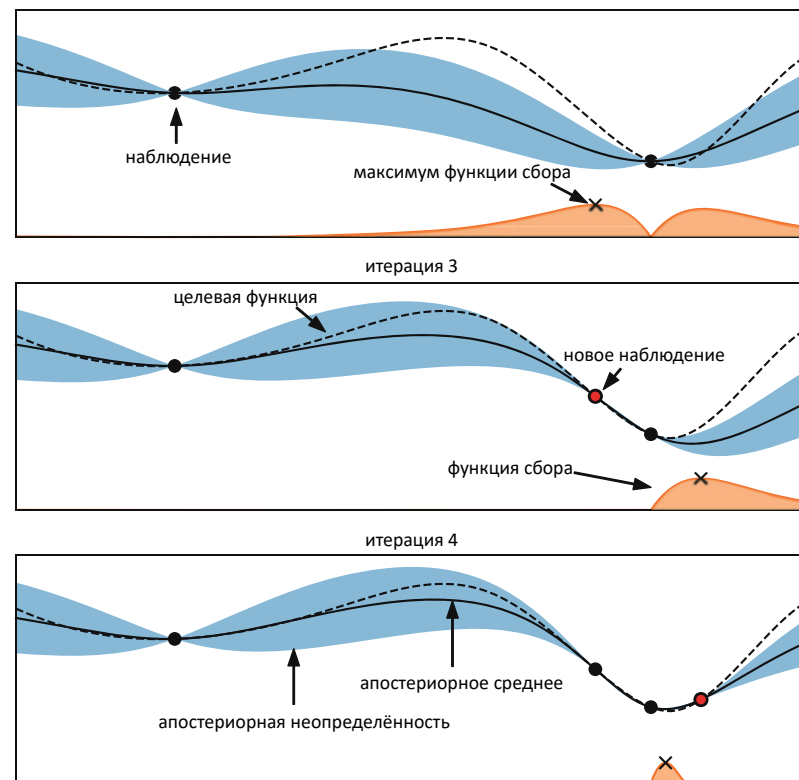
- **алгоритм поиска** — выбирает точку из области гиперпараметров для рассмотрения;
- **планировщик** — заранее останавливает процесс обучения сети в случае плохой сходимости относительно предыдущих результатов.

# Алгоритмы поиска

Самым базовым методом поиска является **поиск по сетке**. Такой поиск применим только для небольшого набора гиперпараметров.

Улучшение по сравнению с поиском по сетке даёт **случайный поиск**, который статистически превосходит поиск по сетке, особенно при больших размерностях области поиска.

**Байесовская оптимизация** — последовательный итерационный алгоритм, основанный на двух компонентах: вероятностной суррогатной модели и функции сбора. В качестве суррогатных моделей традиционно применяются гауссовы процессы и древовидный оценщик Парзена (TPE). Методы байесовской оптимизации показывают себя лучше случайного поиска и предназначены для оптимизации достаточно ресурсоёмких функций.



**Рисунок 3.** Иллюстрация байесовской оптимизации одномерной функции



# Планировщики обучения

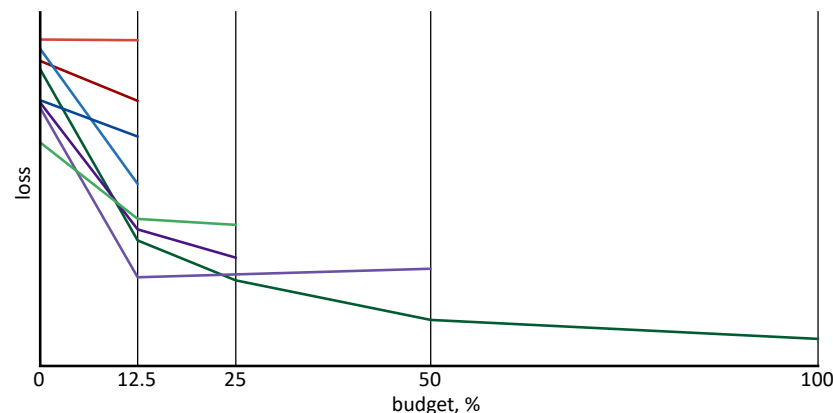


**Медианная остановка** является простейшим методом ранней остановки.

В алгоритме **последовательного деления (Successive Halving, SHA)** на все конфигурации выделяется доля от бюджета, по истечении которой обучение половины конфигураций останавливается. Через некоторое время прекращается обучение половины от оставшихся конфигураций. Процесс «деления» продолжается несколько раз, и в итоге только наилучшие конфигурации обучаются в течение полного времени.

**HyperBand** и **Asynchronous Successive Halving (ASHA)** являются модификациями метода SHA.

Алгоритмы поиска и планировщики обучения могут работать в комбинации независимо друг от друга. **BOHB** был разработан как попытка объединить байесовский поиск и HyperBand в единый эффективный алгоритм.



**Рисунок 4.** Иллюстрация метода последовательного деления

# Программные пакеты



Для автоматической оптимизации гиперпараметров используем фреймворк **Ray Tune**. Ray Tune предоставляет единый интерфейс для работы с множеством популярных HPO-пакетов:

- **алгоритмы поиска:** поиск по сетке, случайный поиск, Ax, BayesOptSearch, BOHB, BlendSearch, CFO, Dragonfly, HEBO, HyperOpt, Optuna, SigOpt, Scikit-Optimize, ZOOpt;
- **планировщики:** ASHA, HyperBand, Median Stopping Rule, Population Based Training (PBT), Population Based Bandits (PB2), BOHB.

Из алгоритмов поиска рассматриваются **случайный поиск** и **HyperOpt**; из планировщиков рассматривается **ASHA**. Также рассматривается комбинированный алгоритм **BOHB**.

# Сравнение алгоритмов оптимизации гиперпараметров

**Таблица 17.** Область поиска и ограничение по времени

$N$	qlograndint(64, 2048, 32)
$L$	randint(1, 5)
$\sigma$	ELU, sigmoid, tanh, sin, atan
$ N_f $	$10^4, 10^5, 10^6$
$ N_{\text{batch}} $	qlograndint(64, 32768, 32)
$lr$	qloguniform(1e-4, 1, 1e-4)
$lr$ scheduler	None, ExponentialLR-0.95, ReduceLROnPlateau-0.1-10, ReduceLROnPlateau-0.5-2
$t$	300 сек
$T$	8 часов

# Сравнение алгоритмов оптимизации гиперпараметров

Таблица 18. Лучшие конфигурации модели, полученные алгоритмами НРО

$ N_{cfg} $	№	$i$	$t$ , сек	$MSE_f$	$RMSE_u$	$N$	$L$	$\sigma$	$ N_f $	$ N_{batch} $	$lr$	$lrscheduler$
Случайный поиск												
96	5	107	300.1	5.0E-02	6.3E-04	1728	1	$\sin$	$10^5$	160	0.355	ReduceLRonPlateau-0.5-2
	10	697	300.0	4.3E-01	1.3E-03	96	1	$\sin$	$10^5$	1056	0.217	ReduceLRonPlateau-0.1-10
	21	6	304.9	3.2E+00	1.3E-02	1088	3	$\sin$	$10^6$	128	0.001	None
Случайный поиск + ASHAScheduler												
1593	364	550	300.1	1.2E-02	2.6E-04	1216	1	$\sin$	$10^5$	1760	0.794	ReduceLRonPlateau-0.5-2
	581	1039	300.1	2.8E-02	2.7E-04	704	1	$\sin$	$10^5$	4608	0.955	ReduceLRonPlateau-0.1-10
	5	106	300.1	4.7E-02	4.4E-04	1728	1	$\sin$	$10^5$	160	0.355	ReduceLRonPlateau-0.5-2
HyperOptSearch												
96	90	277	300.2	3.3E-01	1.7E-03	768	2	$\sin$	$10^5$	928	0.008	ReduceLRonPlateau-0.5-2
	76	1130	300.1	4.3E-01	1.3E-03	416	1	$\sin$	$10^5$	2816	0.215	ReduceLRonPlateau-0.5-2
	81	250	300.2	5.3E-01	2.1E-03	928	2	$\sin$	$10^5$	1408	0.002	ReduceLRonPlateau-0.5-2
HyperOptSearch + ASHAScheduler												
1053	817	624	300.1	<b>1.1E-02</b>	<b>1.7E-04</b>	928	1	$\sin$	$10^5$	2016	0.996	ReduceLRonPlateau-0.5-2
	548	696	300.1	1.1E-02	2.3E-04	736	1	$\sin$	$10^5$	1824	0.857	ReduceLRonPlateau-0.5-2
	607	690	300.1	1.1E-02	1.7E-04	704	1	$\sin$	$10^5$	1728	0.992	ReduceLRonPlateau-0.5-2
BOHB												
1108	820	1695	200.0	4.1E-01	1.4E-03	544	2	$\sin$	$10^4$	736	0.014	ReduceLRonPlateau-0.1-10
	223	326	219.5	4.2E-01	1.2E-03	128	1	$\sin$	$10^5$	736	0.434	ReduceLRonPlateau-0.1-10
	1059	2561	219.0	4.3E-01	1.2E-03	160	1	$\sin$	$10^4$	736	0.794	ReduceLRonPlateau-0.1-10

# Автоматическая оптимизация гиперпараметров — 2-мерная задача



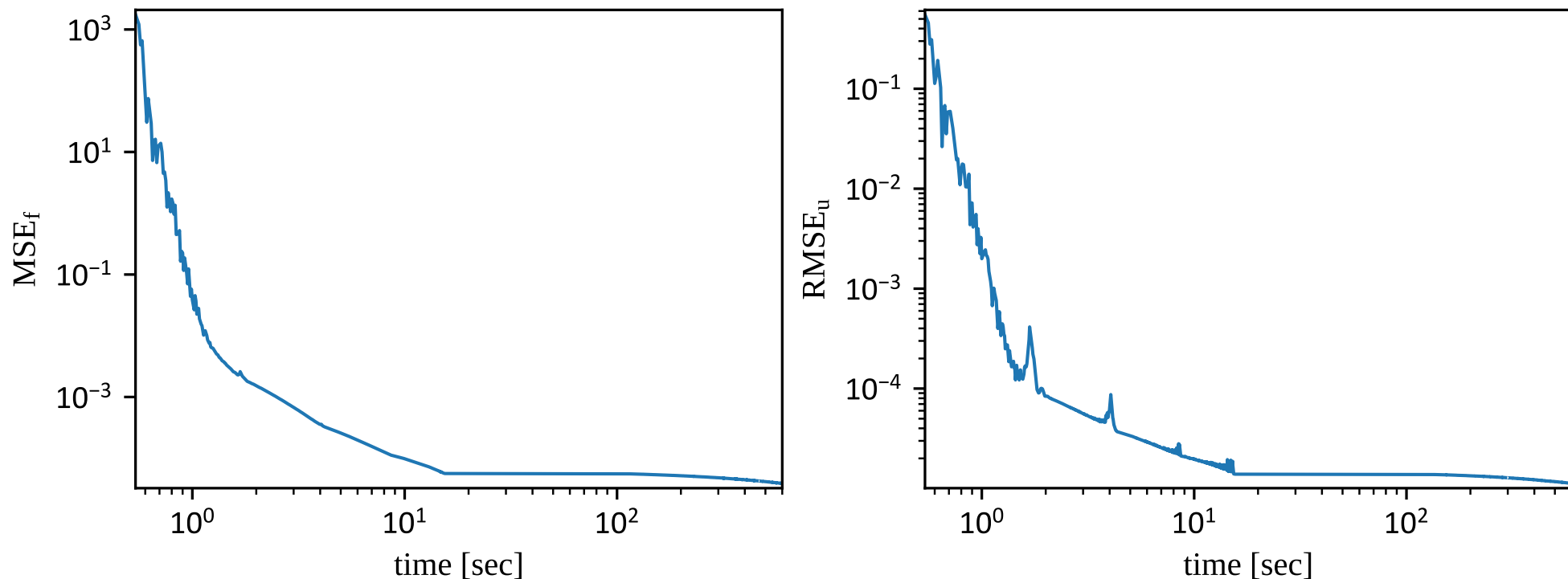
**Таблица 19.** Область поиска и ограничение по времени для 2-мерной задачи

$N$	qlograndint(64, 2048, 32)
$L$	randint(1, 5)
$\sigma$	ELU, sigmoid, tanh, sin, atan
$ N_f $	$10^2, 10^3, 10^4$
$ N_{\text{batch}} $	qlograndint(64, 32768, 32)
$lr$	qloguniform(1e-4, 1, 1e-4)
$lr$ scheduler	None, ExponentialLR-0.95, ReduceLROnPlateau-0.1-10, ReduceLROnPlateau-0.5-2
$t$	30 сек
$T$	1 час

**Таблица 20.** Лучшие конфигурации модели, полученные для 2-мерной задачи

$ N_{\text{cfg}} $	№	$i$	$t$ , сек	$\text{MSE}_f$	$\text{RMSE}_u$	$N$	$L$	$\sigma$	$ N_f $	$ N_{\text{batch}} $	$lr$	$lr$ scheduler
665	457	1306	30.0	5.6E-05	1.4E-05	416	2	sin	1000	640	0.028	ReduceLROnPlateau-0.5-2
	594	1286	30.0	7.8E-05	1.1E-05	672	2	sin	1000	384	0.015	ReduceLROnPlateau-0.5-2

# Автоматическая оптимизация гиперпараметров — 2-мерная задача



**График 12.**

*Зависимость невязки по уравнению и невязки по решению от времени лучшей конфигурации для 2-мерной задачи*

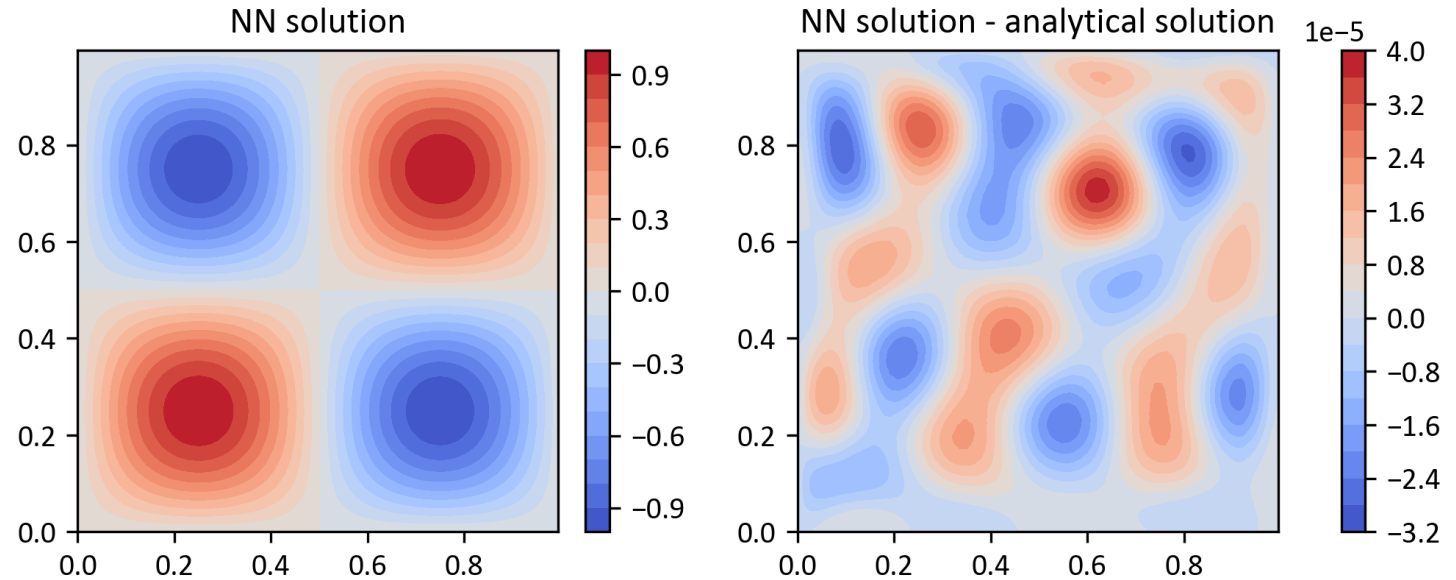
# Автоматическая оптимизация гиперпараметров — 2-мерная задача



Конечные значения  
невязок:

$$\text{MSE}_f = 3.885\text{E-}05$$

$$\text{RMSE}_u = 1.125\text{E-}05$$



**График 13.**

*Лучшее решение 2-мерной задачи и его отклонение от аналитического решения*

# Автоматическая оптимизация гиперпараметров — 5-мерная задача



**Таблица 21.** Область поиска и ограничение по времени для 5-мерной задачи

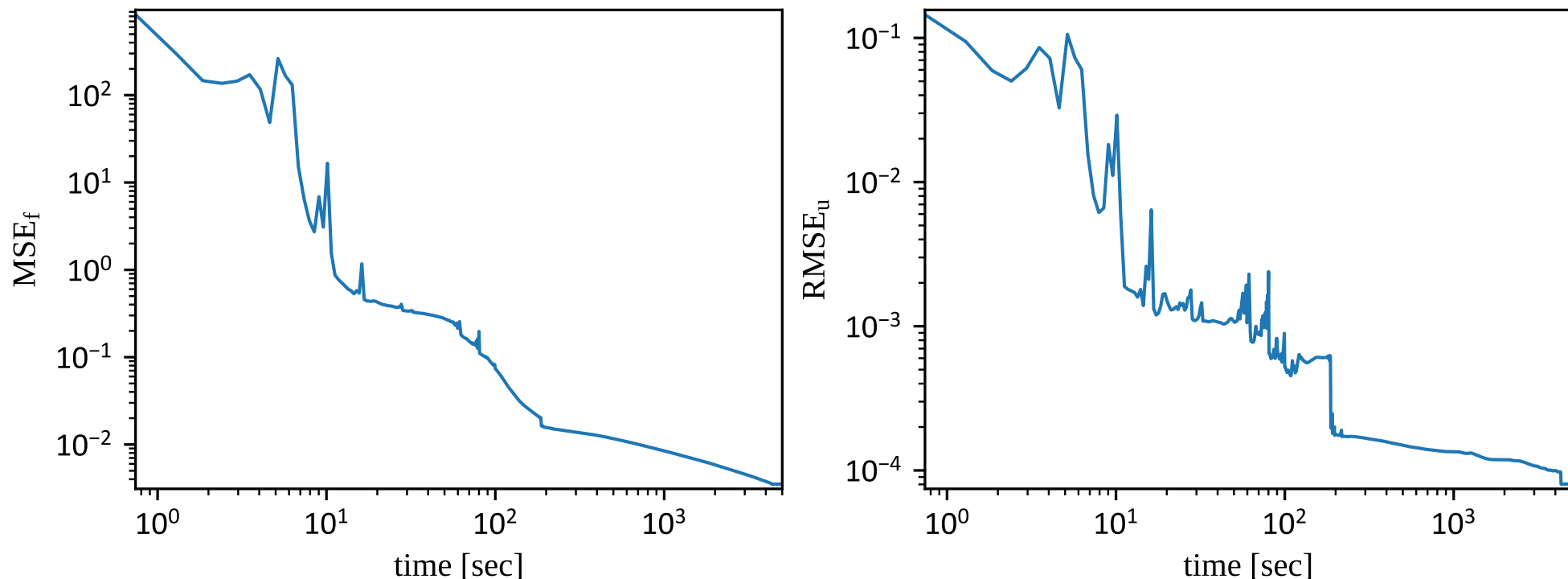
$N$	qlograndint(64, 2048, 32)
$L$	randint(1, 5)
$\sigma$	ELU, sigmoid, tanh, sin, atan
$ N_f $	$10^4, 10^5, 10^6$
$ N_{\text{batch}} $	qlograndint(64, 32768, 32)
$lr$	qloguniform(1e-4, 1, 1e-4)
$lr$ scheduler	None, ExponentialLR-0.95, ReduceLROnPlateau-0.1-10, ReduceLROnPlateau-0.5-2
$t$	300 сек
$T$	8 часов

**Таблица 22.** Лучшие конфигурации модели, полученные для 5-мерной задачи

$ N_{\text{cfg}} $	№	$i$	$t$ , сек	$\text{MSE}_f$	$\text{RMSE}_u$	$N$	$L$	$\sigma$	$ N_f $	$ N_{\text{batch}} $	$lr$	$lr$ scheduler
1053	817	624	300.1	1.1E-02	1.7E-04	928	1	sin	105	2016	0.996	ReduceLROnPlateau-0.5-2
	548	696	300.1	1.1E-02	2.3E-04	736	1	sin	105	1824	0.857	ReduceLROnPlateau-0.5-2



# Автоматическая оптимизация гиперпараметров — 5-мерная задача



**График 14.**

*Зависимость невязки по уравнению и невязки по решению от времени лучшей конфигурации для 5-мерной задачи*

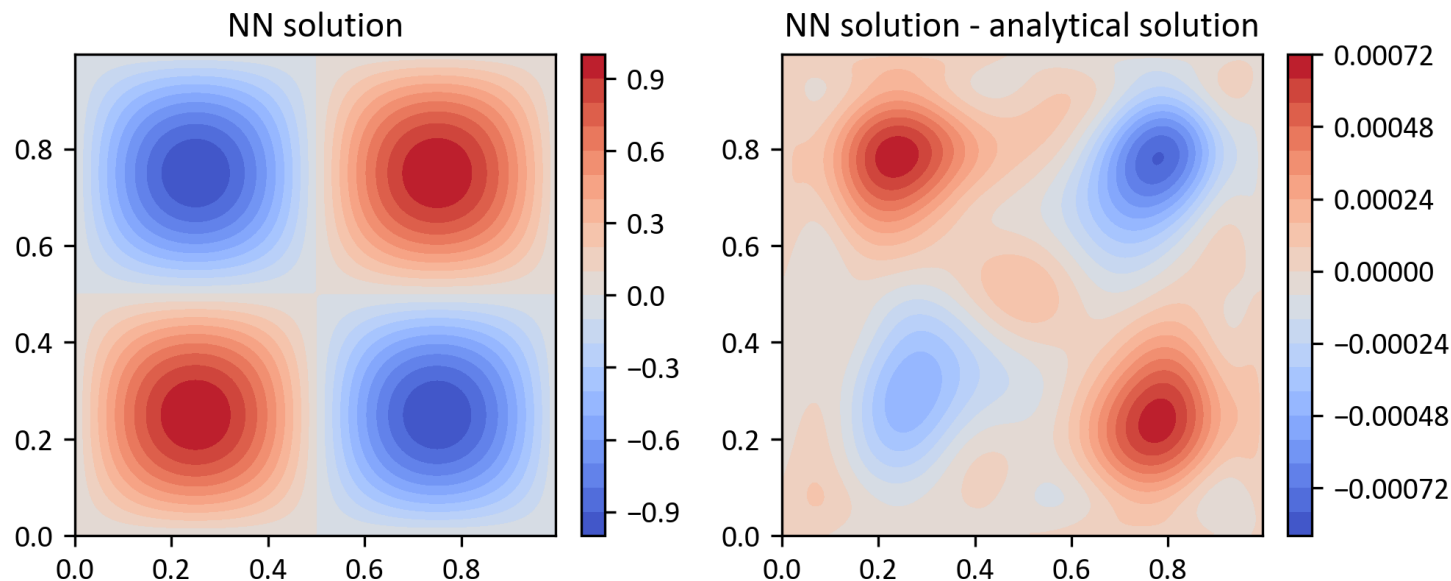
# Автоматическая оптимизация гиперпараметров — 5-мерная задача



Конечные значения  
невязок:

$$\text{MSE}_f = 3.518\text{E-}03$$

$$\text{RMSE}_u = 8.036\text{E-}05$$



**График 15.**

*Лучшее решение 5-мерной задачи и его отклонение от аналитического решения*

# Автоматическая оптимизация гиперпараметров — 8-мерная задача



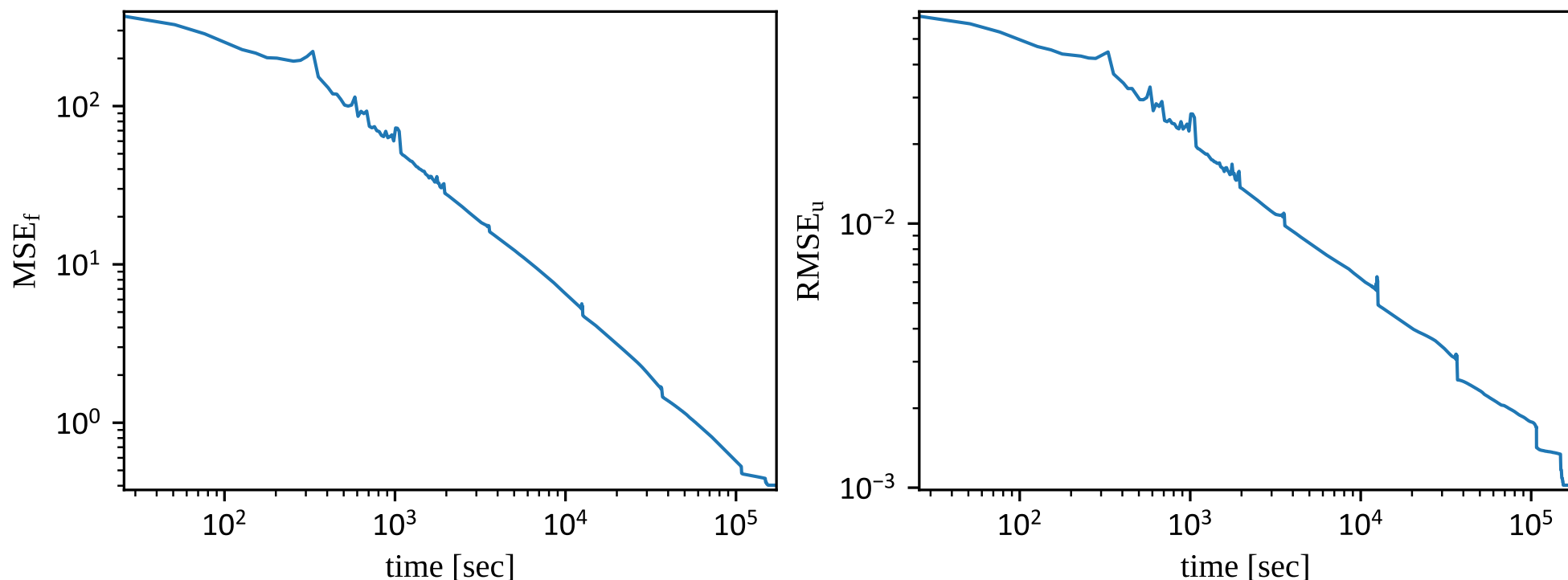
**Таблица 23.** Область поиска и ограничение по времени для 8-мерной задачи

$N$	qlograndint(64, 2048, 32)
$L$	randint(1, 5)
$\sigma$	ELU, sigmoid, tanh, sin, atan
$ N_f $	$10^6, 10^7, 10^8$
$ N_{\text{batch}} $	qlograndint(64, 32768, 32)
$lr$	qloguniform(1e-4, 1, 1e-4)
$lr$ scheduler	None, ExponentialLR-0.95, ReduceLROnPlateau-0.1-10, ReduceLROnPlateau-0.5-2
$t$	1800 сек
$T$	48 часов

**Таблица 24.** Лучшие конфигурации модели, полученные для 8-мерной задачи

$ N_{\text{cfg}} $	№	$i$	$t$ , сек	$\text{MSE}_f$	$\text{RMSE}_u$	$N$	$L$	$\sigma$	$ N_f $	$ N_{\text{batch}} $	$lr$	$lr$ scheduler
313	260	60.9	1802.1	3.3E+01	1.5E-02	2016	1	sin	$10^6$	160	0.068	ExponentialLR-0.95
	262	60.2	1802.2	3.3E+01	1.5E-02	2016	1	sin	$10^6$	160	0.071	ExponentialLR-0.95

# Автоматическая оптимизация гиперпараметров — 8-мерная задача



**График 16.**

*Зависимость невязки по уравнению и невязки по решению от времени лучшей конфигурации для 8-мерной задачи*

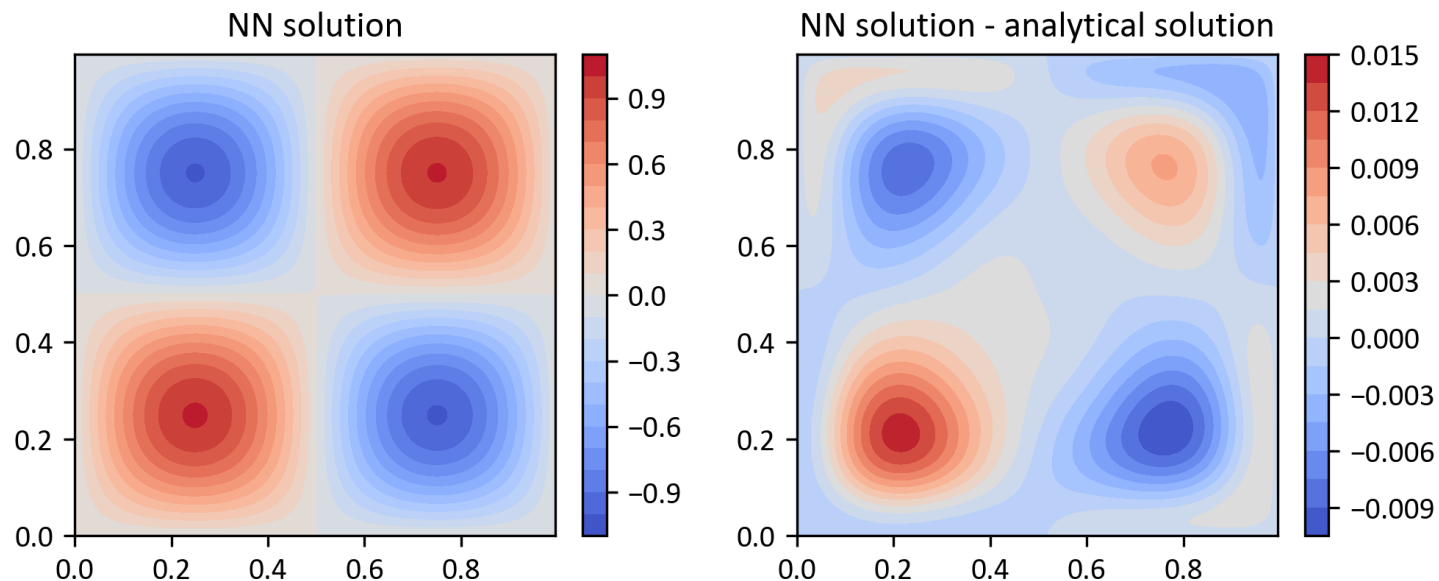
# Автоматическая оптимизация гиперпараметров — 8-мерная задача



Конечные значения  
невязок:

$$\text{MSE}_f = 4.030\text{E-}01$$

$$\text{RMSE}_u = 1.022\text{E-}03$$



**График 17.**

*Лучшее решение 8-мерной задачи и его отклонение от аналитического решения*



- В ходе работы удалось эффективно использовать средства автоматической оптимизации гиперпараметров (HPO) для подбора конфигурации модели, аппроксимирующей уравнение Гельмгольца. Использование алгоритма ранней остановки позволяет рассмотреть гораздо больше конфигураций, и целесообразно в первую очередь применять его, а для большей точности можно подключить и байесовский алгоритм поиска. Из рассмотренных алгоритмов HPO наилучший результат был получен при комбинации HyperOptSearch + ASHAScheduler.
- Посредством автоматической оптимизации гиперпараметров было получено более точное решение, чем при ручной оптимизации.
- В работе продемонстрирована возможность решения уравнения Гельмгольца посредством нейронных сетей в пространствах больших размерностей (до 8). Однако, при увеличении размерности задачи быстро растут потребности в вычислительных ресурсах, что смягчается возможностью автоматизации процесса.